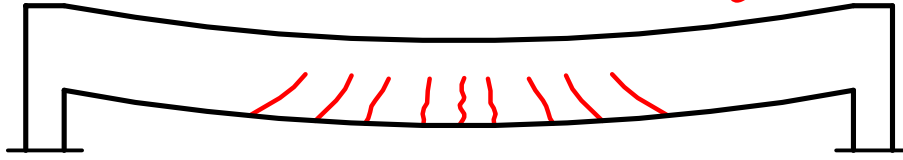


# Serviceability.



## Deflection & Cracks Limit States.

نسألكم الدعاء

IF you download the Free **APP. RC Structures**  on your smart phone or tablet, you will be able to play illustrative movies For any paragraph that has a QR code icon 

إذا حملت تطبيق **RC Structures**  على تليفونك المحمول أو اللوح السطحي ستستطيع أن تشغل أفلام شرح للمقاطع التي تحتوى على رمز 

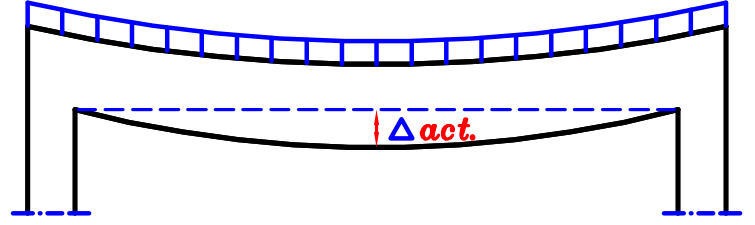
(Serviceability) Check Deflection & Cracks Control Table of Contents.

<b>Introuction.</b> .....	<b>Page 2</b>
<b>Check Deflection.</b> .....	<b>Page 6</b>
<b>Examples on Check Deflection.</b> .....	<b>Page 22</b>
<b>Cracks Control.</b> .....	<b>Page 29</b>
<b>Check Crack width.</b> .....	<b>Page 34</b>
<b>Example on Check Crack width.</b> .....	<b>Page 42</b>

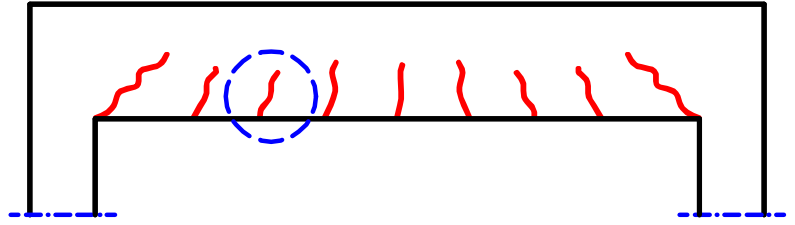
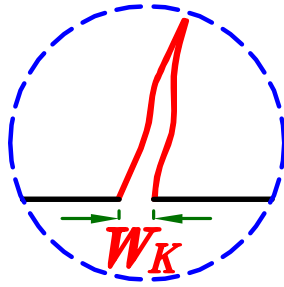
# Introuction.

**Serviceability** تعرف على انها العوامل التى من الممكن ان تضر بالمنشأ و لم يؤخذ تأثيرها فى معادلات التصميم على الاحمال . **مثل :**

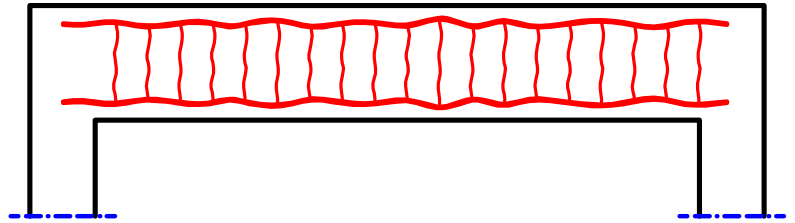
## 1-Deflection. الترخيم



## 2-Crack width. الزيادة فى عرض الشروخ

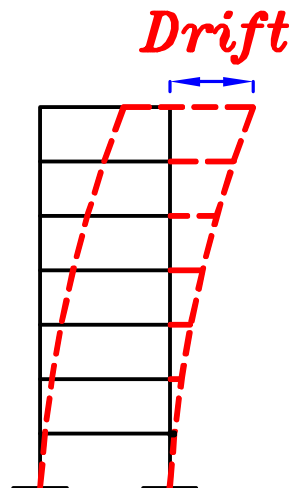


## 3-Extent of corrosion. زيادة معدلات صدأ الحديد



## 4-Vibrations. زيادة اهتزاز المنشأ مثل الكبارى و المصانع

## 5-Drift. زيادة الحركة الافقيه للمباني العاليه المعرضه للرياح أو الزلازل .



لكي نستطيع حساب قيمه الترخيم **Deflection** أو عرض الشرخ  **$W_K$**  لكمره  
سنحتاج لحساب  **$I_g$  &  $I_{nv}$**  لقطاع الكمره

**$I_g$**  = Gross moment of Inertia. For **UnCracked Section**.

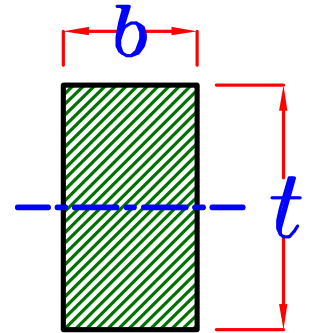
**$I_{nv}$**  = moment of Inertia. For **Cracked Section**.

**$I_g$**  = Gross moment of Inertia. For **UnCracked Section**.

يمكن للتسهيل افعال وجود الحديد .

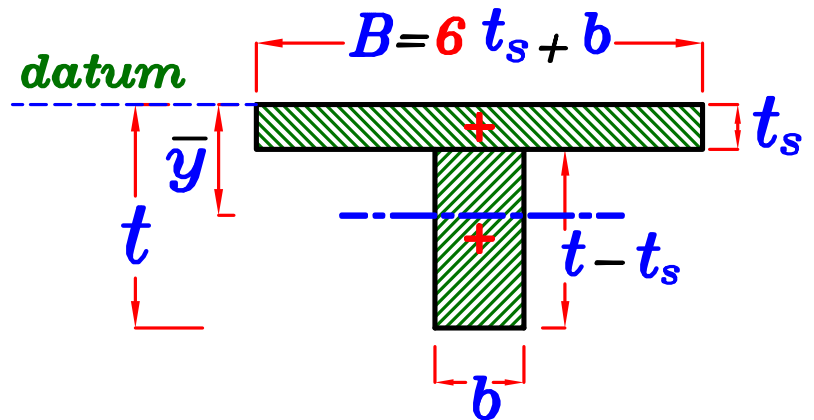
R-Sec.

$$I_g = \frac{b * t^3}{12}$$



T-Sec.

نعتبر ان الجزء المقاوم من البلاطه يساوى  **$B = 6 t_s + b$**



$$A = B * t_s + b (t - t_s)$$

$$\bar{y} = \frac{B * t_s \left(\frac{t_s}{2}\right) + b (t - t_s) \left[\left(\frac{t - t_s}{2}\right) + t_s\right]}{A}$$

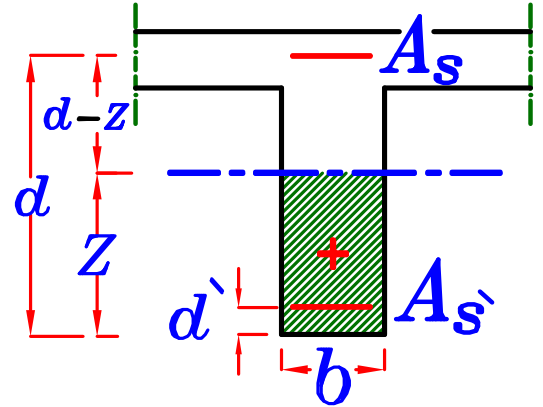
$$I_g = \frac{b (t - t_s)^3}{12} + b (t - t_s) \left[\left(\frac{t - t_s}{2}\right) + t_s - \bar{y}\right]^2 + \frac{B t_s^3}{12} + B t_s \left(\bar{y} - \frac{t_s}{2}\right)^2$$

$I_{nv}$  = moment of Inertia. For Cracked Section.

المفروض في ال  $deflection$  قيمه ال  $n=10$  و ممكن للتسهيل نأخذها بـ  $n=15$

For R-Sec.

$$S_{nv. \text{ above } (N.A.)} = S_{nv. \text{ under } (N.A.)}$$



$$\frac{b z^2}{2} + (n-1) A_s (z-d) = n A_s (d-z) \rightarrow \text{Get } z$$

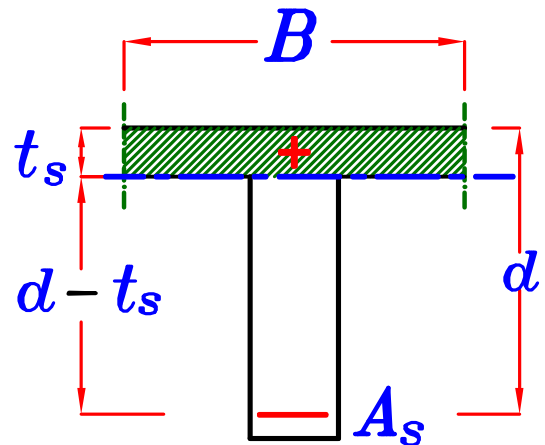
$$I_{nv} = \frac{b z^3}{3} + (n-1) A_s (z-d)^2 + n A_s (d-z)^2$$

For T-Sec.

لكي نعرف هل ال  $N.A.$  اعلى ام اسفل البلاطه  
نفرض ان ال  $N.A.$  عند البلاطه تماما  $z = t_s$   
ثم نحسب قيمه  $S_{nv.}$  اعلى و اسفل البلاطه و نقارن بينهم

$$S_{nv. (above)} = B * t_s * \frac{t_s}{2}$$

$$S_{nv. (under)} = n A_s (d - t_s)$$

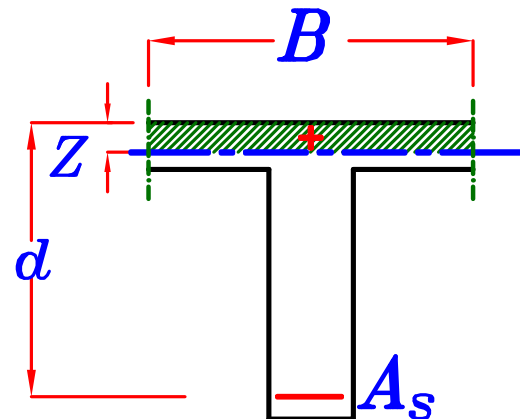


$$\textcircled{1} \text{ IF } S_{nv. (under)} < S_{nv. (above)} \rightarrow \boxed{z < t_s}$$

$$S_{nv. \text{ above } (N.A.)} = S_{nv. \text{ under } (N.A.)}$$

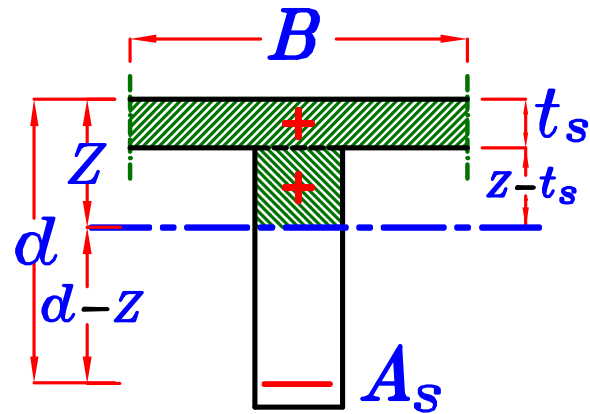
$$\frac{B z^2}{2} = n A_s (d - z) \rightarrow \text{Get } z$$

$$I_{nv} = \frac{B z^3}{3} + n A_s (d - z)^2$$



② IF  $S_{nv. (under)} > S_{nv. (above)} \rightarrow \boxed{Z > t_s}$

$$S_{nv. \text{ above (N.A.)}} = S_{nv. \text{ under (N.A.)}}$$



$$B t_s \left( Z - \frac{t_s}{2} \right) + b \left( Z - t_s \right) \frac{(Z - t_s)}{2} = n A_s (d - Z) \text{ --- Get } Z$$

$$I_{nv} = \frac{B t_s^3}{12} + B t_s \left( Z - \frac{t_s}{2} \right)^2 + b \frac{(Z - t_s)^3}{3} + n A_s (d - Z)^2$$

\*  $M_{cr}$  = Cracking Moment.

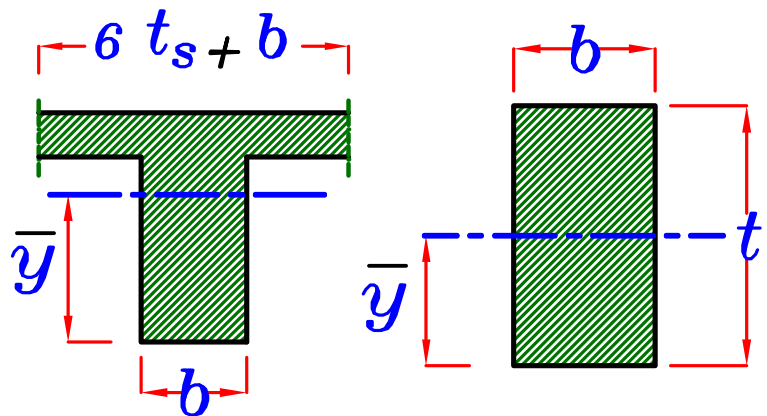
$$\boxed{M_{cr} = F_{ctr} * \frac{I_g}{\bar{y}_{ten}}}$$

where

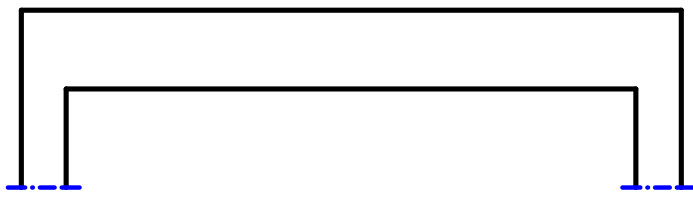
$$\boxed{F_{ctr} = 0.6 \sqrt{F_{cu}}}$$

N\mm<sup>2</sup>

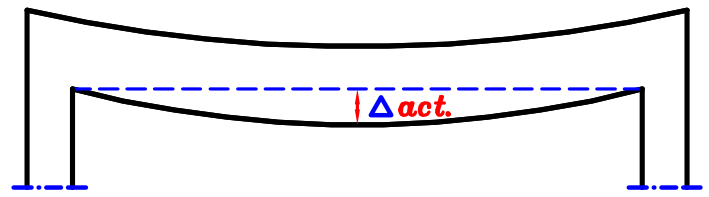
يمكن إهمال وجود الحديد



# Check Deflection.



قبل التحميل



بعد التحميل

## Effects of Deflection.

عيوب حدوث ترخيم كبير للكمرات

### 1- Excessive Vibrations and bad Feelings.

حدوث اهتزازات أكبر و احساس سيئ لشكل الترخيم .

### 2- Damage of partitions , doors , windows and Finishing.

حدوث تأثير سيئ على الحوائط و الابواب و الشبابيك و الارضيات .

## Factors affecting deflection value.

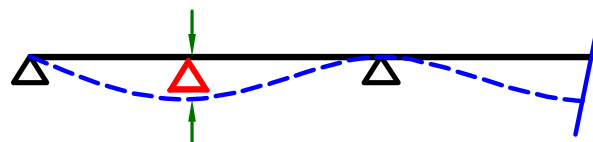
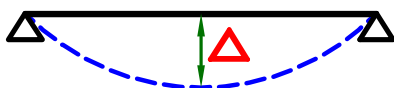
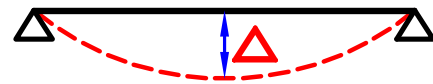
1 - Loads.  $\Delta \propto \text{Loads}$

2 - Spans.  $\Delta \propto \text{span}$

3 - Modulus of Elasticity. ( $E$ )  $\Delta \propto \frac{1}{E}$

4 - Moment of Inertia. ( $I$ )  $\Delta \propto \frac{1}{I}$

5 - Continuity of beams.  $\Delta \propto \frac{1}{\text{Continuity}}$



نعمل **Check Deflection** لكي نعرف اذا كان ال **Deflection** في حدود المسموح به أم لا .  
فنحسب قيمه ال **Deflection** الفعلي  $\Delta_{act}$  الذي تعتمد قيمته على :

الاحمال الواقعه على الكمره **Working Load** و طول الكمره **L**  
و أبعاد قطاع الكمره **I<sub>e</sub> effective Inertia** و ماده القطاع **E<sub>c</sub>**

ثم نحسب قيمه ال **Deflection** المسموح به  $\Delta_{all}$  من الجداول او من الكود .  
و نقارن كلا من  $\Delta_{act}$  و  $\Delta_{all}$

IF  $\Delta_{act} \leq \Delta_{all} \longrightarrow$  **Safe Deflection.**

IF  $\Delta_{act} > \Delta_{all} \longrightarrow$  **Unsafe Deflection.**

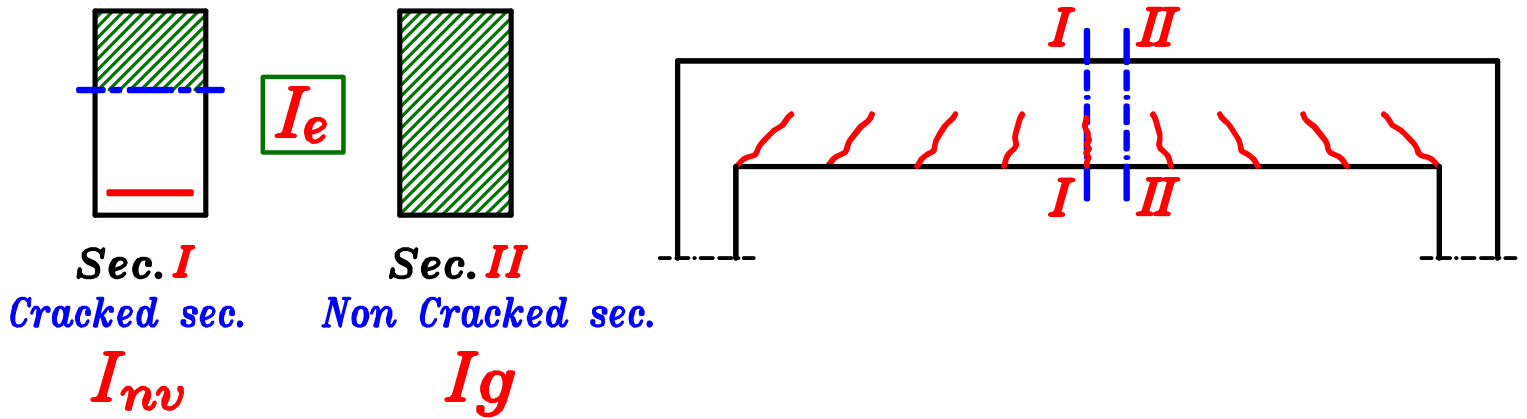
$$\Delta_{act} = \frac{\checkmark}{E_c * I_e}$$

لكي نحسب قيمه  $\Delta_{act}$  يجب أولا أن نحسب قيمه **E<sub>c</sub> & I<sub>e</sub>**

**E<sub>c</sub> = Modulus of Elasticity For Concrete**

$$E_c = 4400 \sqrt{F_{cu}} \quad N/mm^2$$

$I_e = \text{Effective Moment of Inertia For the cracked Sec.}$



في الكمرات المشرخه توجد مقاطعات مشرخه و مقاطعات اخرى غير مشرخه

في المقاطعات المشرخه تكون  $I_{nv}$  و في المقاطعات الغير مشرخه تكون  $I_g$

اذا للتعبير عن مقاطعات الكمره كلها نحسب  $I_e$  و تكون قيمتها بين كل من  $I_g$  &  $I_{nv}$

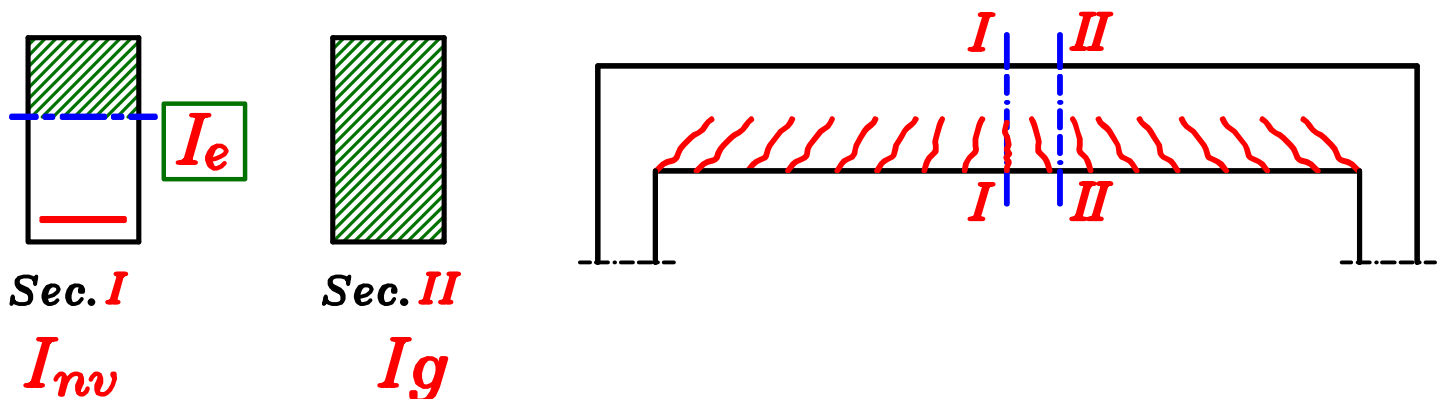
و تعتمد قيمه  $I_e$  على كميه الشروخ في الكمره اى تعتمد على قيمه كل من  $M_{cr}$  &  $M_{act}$ .

حيث  $M_{cr}$  هو العزم الذى تبدأ عنده الكمره فى التشرخ .

و ال  $M_{act}$  هو العزم المؤثر على الكمره نتيجه **Total working Loads**

IF  $M_{act} >>> M_{cr}$  اذا كانت  $M_{act}$  اكبر بكثير من  $M_{cr}$

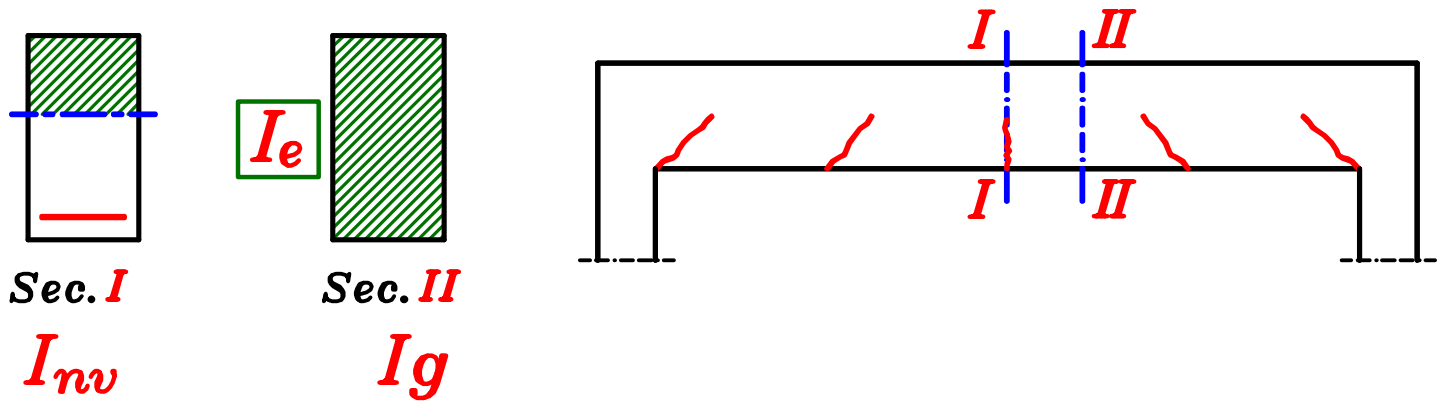
هذا يعنى ان عدد الشروخ كبير فتكون قيمه  $I_e$  اقرب لقيمته  $I_{nv}$





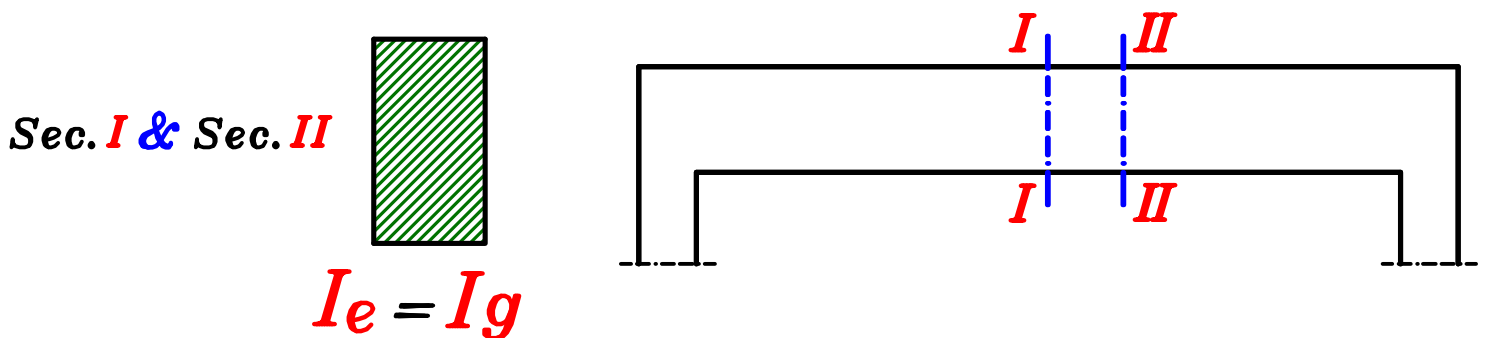
IF  $M_{act} > M_{cr}$  اذا كانت  $M_{act}$  اكبر من  $M_{cr}$  لكن بقيمه قليله

هذا يعنى انه يوجد شروخ لكن عددها قليل اى ان قيمه  $I_e$  اقرب لقيمه  $I_g$



اذا كانت  $M_{act}$  اقل من  $M_{cr}$

هذا يعنى انه لا يوجد شروخ بالكمره و تكون قيمه  $I_e$  تساوى  $I_g$



اذا لحساب قيمه  $I_e$  يحسب من القانون التالى

$$I_e = Factor * I_g + [1 - Factor] I_{nv}$$

و هذا ال  $Factor$  بالطبع يعتمد على كل من  $M_{act}$  &  $M_{cr}$

$$Factor = \left( \frac{M_{cr}}{M_{act}} \right)^3$$

$$I_e = \left( \frac{M_{cr}}{M_{act}} \right)^3 I_g + \left[ 1 - \left( \frac{M_{cr}}{M_{act}} \right)^3 \right] I_{nv}$$

$$I_e = \left( \frac{M_{cr}}{M_{act}} \right)^3 I_g + \left[ 1 - \left( \frac{M_{cr}}{M_{act}} \right)^3 \right] I_{nv}$$

إذا لحساب قيمه  $I_e$  يجب قبلها ان نحسب كل من

1-  $I_g = \checkmark$

2-  $M_{cr} = F_{ctr} * \frac{I_g}{\bar{y}_{ten}} = \checkmark$

3-  $M_{cr} = \checkmark$  due to *total working load*

IF  $M_{cr}$

$M_{act.} \leq M_{cr}$

$M_{act.} > M_{cr}$

$$I_e = I_g$$

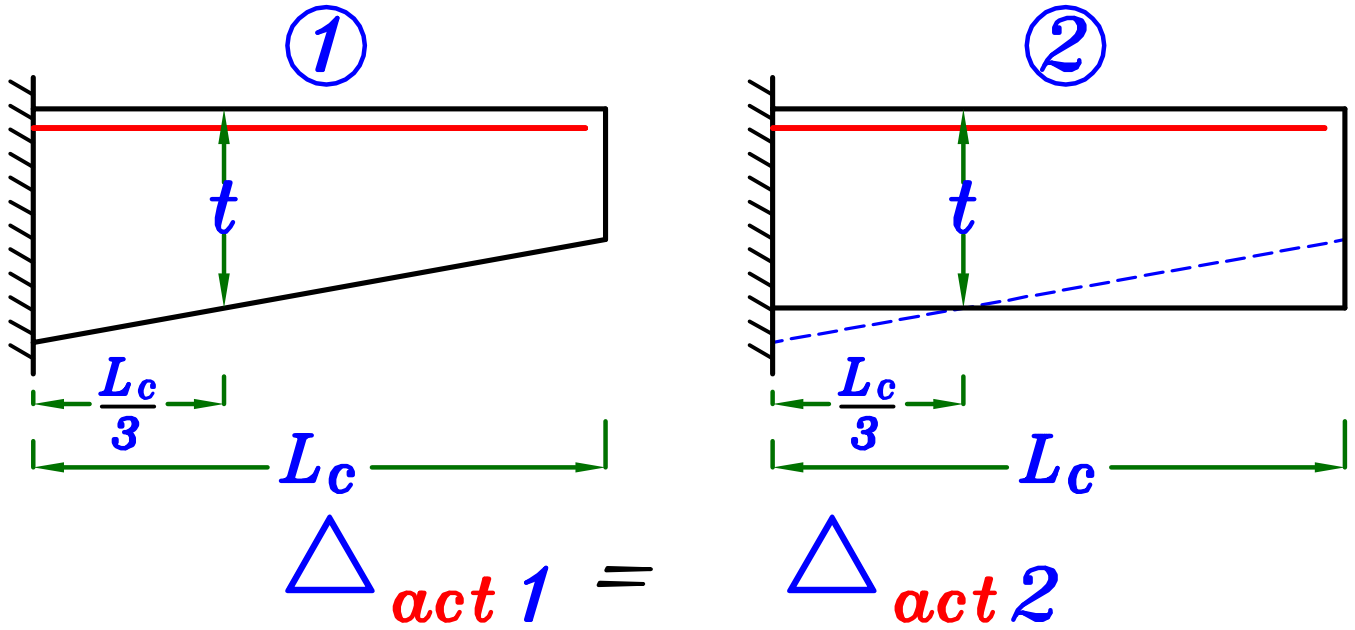
4-  $I_{nv} = \checkmark$

$$I_e = \left( \frac{M_{cr}}{M_{act}} \right)^3 I_g + \left[ 1 - \left( \frac{M_{cr}}{M_{act}} \right)^3 \right] I_{nv}$$

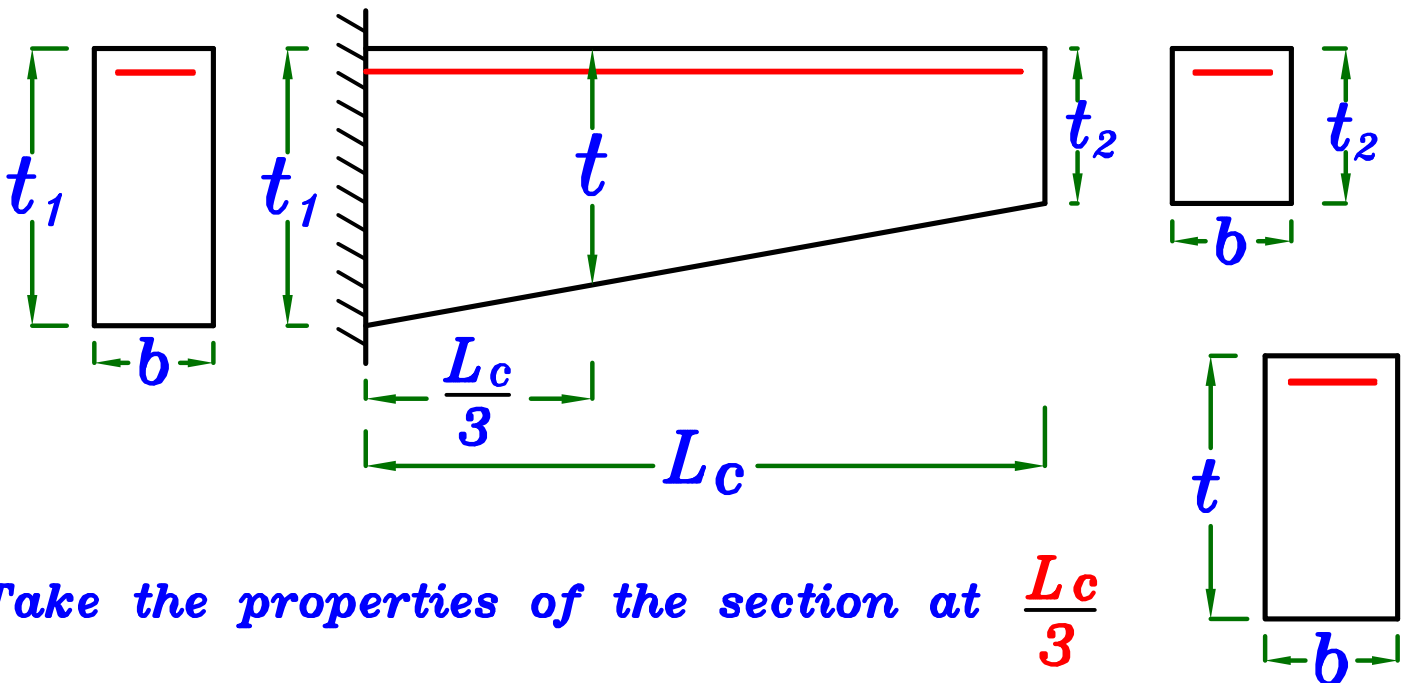
# Special Cases.

**For Cantilever with Variable depth.**

وجد ان قيمة **deflection** لل **Variable depth Cantilever** هي نفس قيمة **deflection** ل **Constant depth Cantilever** لكن بتخانة أقل و وجد ان هذه التخانة مساويه للتخانة عند بعد  $\frac{L_c}{3}$  من ال **Fixation**



اذا لحساب **deflection** لل **Variable depth Cantilever** ممكن استخدام نفس القوانين السابقه لكن حساب  $I_g$  &  $I_{nv}$  لقطاع على بعد  $\frac{L_c}{3}$  من ال **Fixation**



Take the properties of the section at  $\frac{L_c}{3}$

# Actual Deflection Values. $\Delta_{act}$

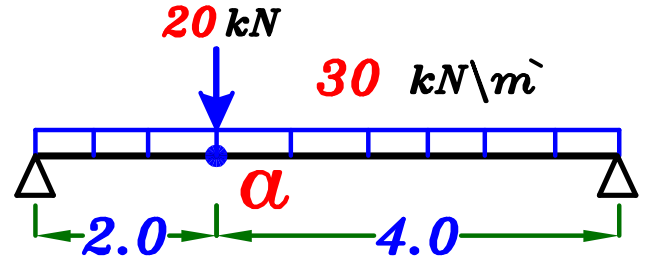
نحسب قيمه  $\Delta_{act}$  عن طريق ال *working loads*

و ممكن حساب قيمه ال *deflection* بأى طريقه مثلا بطريقه *Conjugate beam*

## Example.

Calculate

$\Delta_{act}$  at point *a*



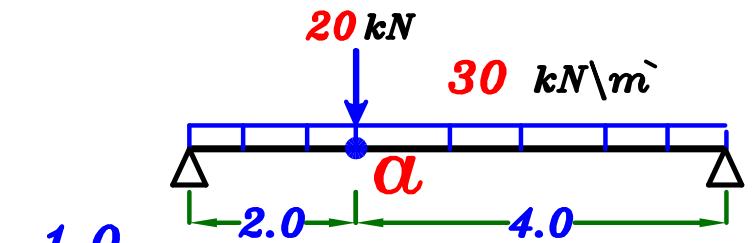
$$E_c I_e * \Delta_{act} =$$

$$= 314.3 * 2 - 146.6 * \frac{2}{3} - 20 * 1.0$$

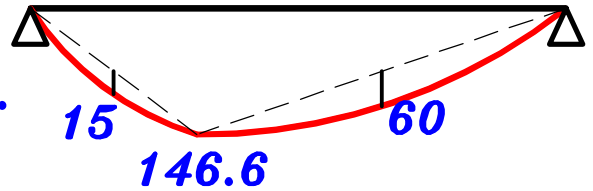
$$= 510.86 \text{ kN.m.m.m}$$

لتحويلها الى *N.mm.mm.mm*

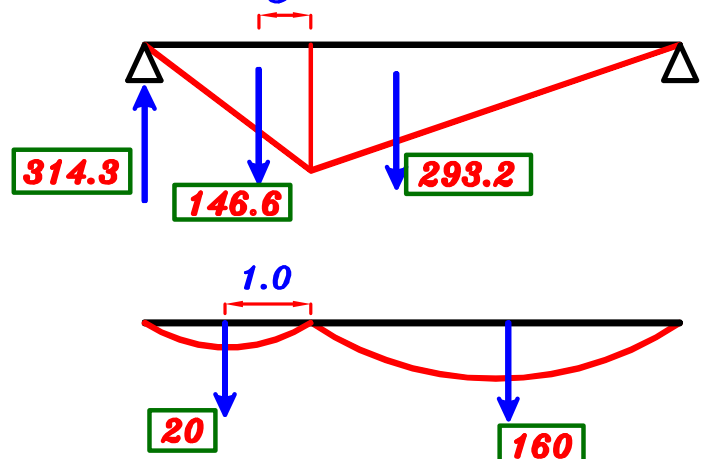
$$\therefore \Delta_{act} = \frac{510.86 * 10^{12}}{E_c I_e}$$



B.M.D.

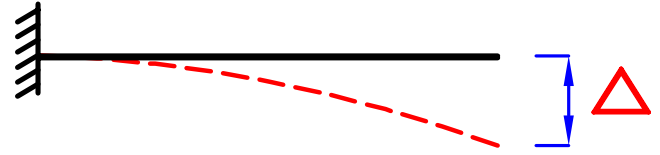
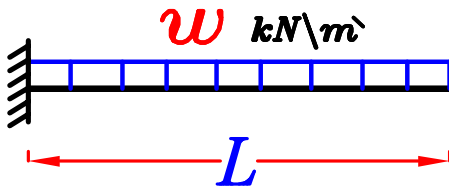


Conjugate beam



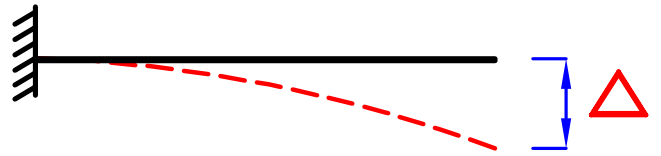
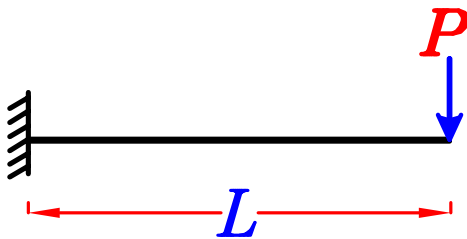
توجد عدة حالات محفوظة للـ **Deflection** يمكن استخدامها مباشرة .

①



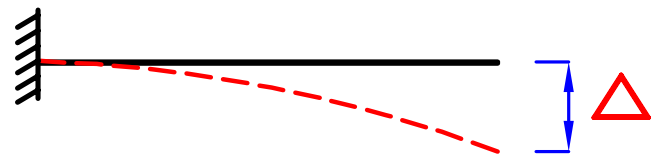
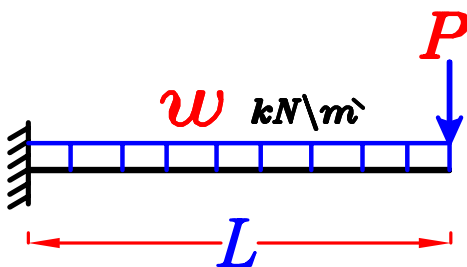
$$\triangle_{act} = \frac{1}{8} * \frac{w L^4}{E_c I_e}$$

②



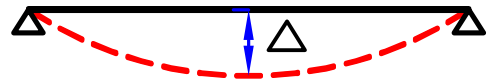
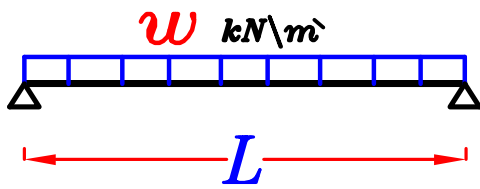
$$\triangle_{act} = \frac{1}{3} * \frac{P L^3}{E_c I_e}$$

③



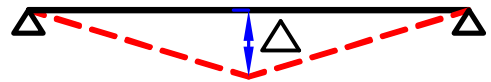
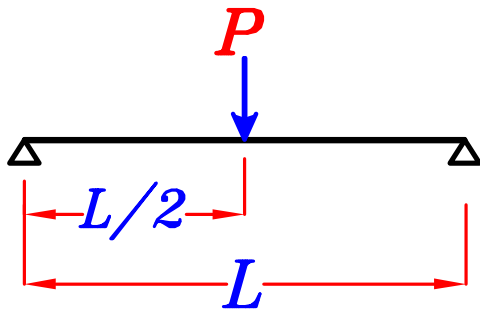
$$\triangle_{act} = \frac{1}{8} * \frac{w L^4}{E_c I_e} + \frac{1}{3} * \frac{P L^3}{E_c I_e}$$

④



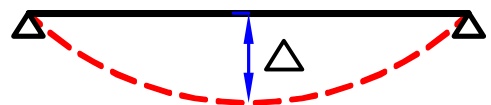
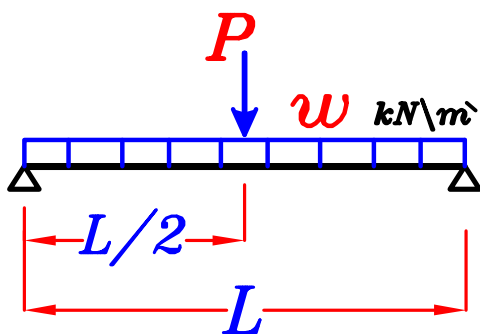
$$\triangle_{act} = \frac{5}{384} * \frac{w L^4}{E_c I_e}$$

⑤



$$\triangle_{act} = \frac{1}{48} * \frac{P L^3}{E_c I_e}$$

⑥

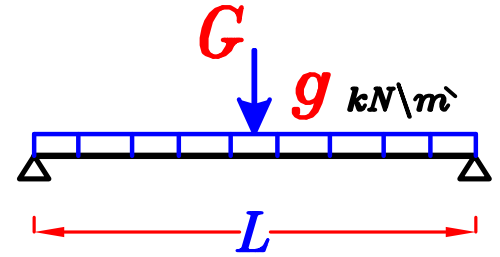


$$\triangle_{act} = \frac{5}{384} * \frac{w L^4}{E_c I_e} + \frac{1}{48} * \frac{P L^3}{E_c I_e}$$

## Actual Deflection due to Dead Load.

نستخدم نفس القوانين السابقه لكن مع استخدام **D.L.** فقط

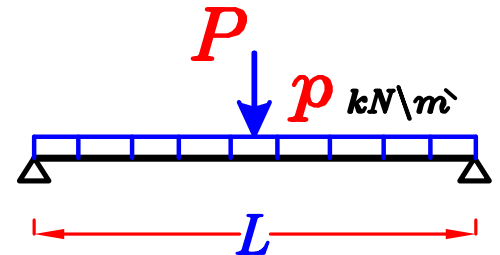
$$\triangle_{D.L.} = \frac{5}{384} * \frac{g L^4}{E_c I_e} + \frac{1}{48} * \frac{G L^3}{E_c I_e}$$



## Actual Deflection due to Live Load.

نستخدم نفس القوانين السابقه لكن مع استخدام **L.L.** فقط

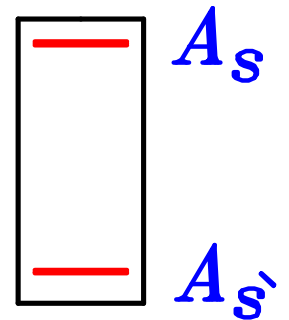
$$\triangle_{L.L.} = \frac{5}{384} * \frac{p L^4}{E_c I_e} + \frac{1}{48} * \frac{P L^3}{E_c I_e}$$



## Actual Deflection due to Creep. الزحف

$$\triangle_{Creep} = \alpha \triangle_{D.L.}$$

$$\alpha = 2.0 - 1.2 \left( \frac{A_{s'}}{A_s} \right) \geq 0.6$$



$$\text{Short Term Deflection.} = \triangle_{D.L.} + \triangle_{L.L.}$$

$$\text{Long Term Deflection.} = \triangle_{D.L.} + \triangle_{L.L.} + \triangle_{Creep}$$

## Actual Deflection due to Non structural elements.

### (Deflection due to Partitions)

إذا كانت الكمره أو البلاطه تحمل عناصر غير انشائية و كانت هذه العناصر كبيره التأثير بال **Deflection** مثل ال **curtain walls** أو الواجهات الزجاجيه

يجب حساب قيمه **Deflection** يسمى  $\triangle p$

$$\triangle p = \triangle L.L. + \alpha \triangle sus$$

Where:  $\alpha = 2.0 - 1.2 \left( \frac{A_s'}{A_s} \right) \geq 0.6$

$\triangle sus$  هي قيمه ال **Deflection** الحاصل من ال **dead loads** مضافا عليه الاحمال الحيه الشبه ثابته مثل الفواصل

$$\triangle sus = \triangle D.L. + \text{Finish Factor} * \triangle L.L.$$

**Finish Factor**  $\simeq 0.15 \rightarrow 0.30$

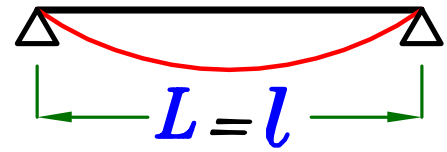
ملحوظه .

لن يتم حساب قيمه  $\triangle p$  اذا لم يتم تحديد قيمه ال **Finish Factor**

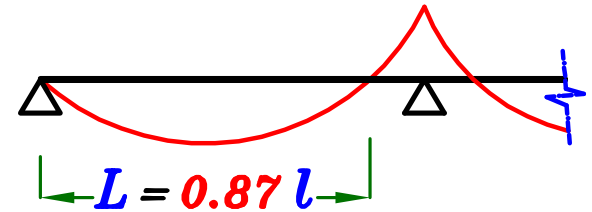


# Allowable Deflection Values. $\triangle_{all}$

For Beams.

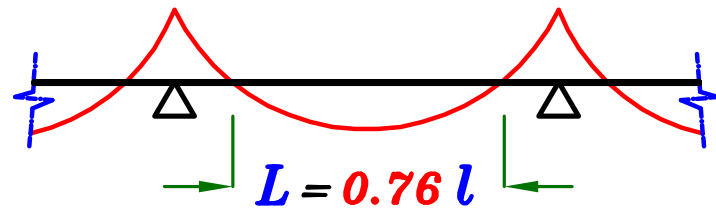


$$\triangle_{all} = \frac{L}{250}$$



Compared with

$$\triangle_{D.L.} + \triangle_{L.L.} + \triangle_{Creep}$$



$$\triangle_{all} = \frac{L}{360}$$

Compared with

$$\triangle_{L.L. \text{ Only}}$$

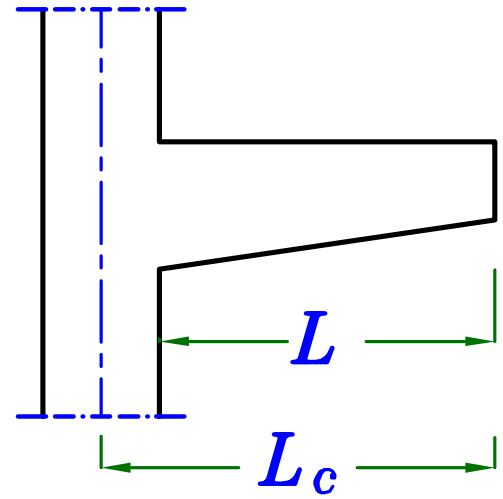
$$\triangle_{all} = \frac{L}{480}$$

In case Finish Factor is given

Compared with

$$\triangle_p = \triangle_{L.L.} + \alpha \triangle_{sus}$$

## For Cantilever.



$$\triangle_{all} = \frac{L}{450}$$

Compared with

$$\triangle_{D.L.} + \triangle_{L.L.} + \triangle_{Creep}$$

$$\triangle_{all} = \frac{L}{480}$$

In case Finish Factor is given

Compared with

$$\triangle_{L.L.} + \alpha \triangle_{sus}$$

## Steps of Check Deflection.

- \* get  $E_c = 4400 \sqrt{F_{cu}}$
- \* get  $I_e = \left( \frac{M_{cr}}{M_{act}} \right)^3 I_g + \left[ 1 - \left( \frac{M_{cr}}{M_{act}} \right)^3 \right] I_{nv}$
- \* get  $\Delta_{D.L.}$  &  $\Delta_{L.L.}$
- \* get **Short Term deflection.** =  $\Delta_{D.L.} + \Delta_{L.L.}$
- \* get  $\alpha = 2.0 - 1.2 \left( \frac{A_s}{A_s} \right) \geq 0.6$
- \* get  $\Delta_{Creep} = \alpha \Delta_{D.L.}$
- \* get **Long Term deflection.** =  $\Delta_{D.L.} + \Delta_{L.L.} + \Delta_{Creep}$
- \* get  $\Delta_{sus} = \Delta_{D.L.} + \text{Finish Factor} * \Delta_{L.L.}$   
Only If the Finish Factor is given.

## Compare Actual Deflections with Allowable Deflection.

### — For Beams

$$\Delta_{all} = \frac{L}{250} \quad \text{with} \quad \Delta_{act} = \Delta_{D.L.} + \Delta_{L.L.} + \Delta_{Creep}$$

$$\Delta_{all} = \frac{L}{360} \quad \text{with} \quad \Delta_{act} = \Delta_{L.L.}$$

$$\Delta_{all} = \frac{L}{480} \quad \text{with} \quad \Delta_{act} = \Delta_p = \Delta_{L.L.} + \alpha \Delta_{sus}$$

### — For Cantlever

$$\Delta_{all} = \frac{L}{450} \quad \text{with} \quad \Delta_{act} = \Delta_{D.L.} + \Delta_{L.L.} + \Delta_{Creep}$$

$$\Delta_{all} = \frac{L}{480} \quad \text{with} \quad \Delta_{act} = \Delta_p = \Delta_{L.L.} + \alpha \Delta_{sus}$$

IF  $\Delta_{act.} \leq \Delta_{all}$  Safe Deflection.

IF  $\Delta_{act.} > \Delta_{all}$  UnSafe Deflection.

4-3-1 DEFORMATION AND DEFLECTION LIMIT STATES			
$\Delta_{D.L+L.L+creep}$	$\leq \frac{L}{250}$	beams	4-60-a
	$\leq \frac{L}{450}$	cantilevers	4-60-b
$\Delta_{D.L+finishes+creep}$	$\leq \frac{L}{350}$ or 20mm	slabs & beams	4-60-c
	$\leq \frac{L}{600}$	cantilevers	4-60-d
Modulus of elasticity of concrete		$E_c = 14000 \sqrt{f_{cu}} \text{ kg/cm}^2$	4-61
Effective moment of inertia			
		$I_e = (M_{cr}/M_a)^3 I_g + [1 - (M_{cr}/M_a)^3] I_{cr}$	4-62
Cracking moment		$M_{cr} = (f_{ctr} I_g) / y_t$	4-63
Tensile concrete strength		$f_{ctr} = 0.75 (f_{cu})^{2/3} \text{ kg/cm}^2$	4-64
$\Delta_{creep} = \alpha \Delta_{D.L}$ where $\alpha = 2 - 1.2 (A'_s/A_s) \geq 0.6$			4-65

$$\Delta_{act} = \Delta_{D.L.} + \Delta_{L.L.} > \Delta_{all} \quad \text{اذا وجدنا ان}$$

اى ان الكمره **Unsafe Deflection**

ممكن ان نشترط فى التنفيذ ان يتم عمل تحديد للشده الخشب **Cambering**

عند المنطقه التى عندها اكبر **Deflection**

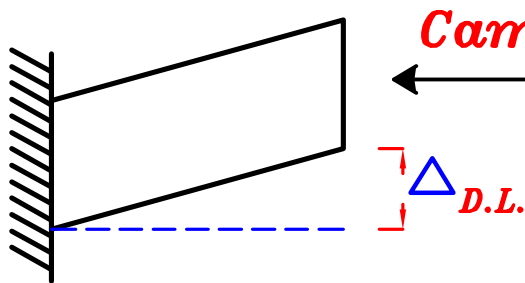
و ذلك برفع مستوى الشده الخشب فى هذه المنطقه بمقدار  $\Delta_{D.L.}$

فتكون الكمره بعد الصب مائله لاعلى بمقدار  $\Delta_{D.L.}$

و عند فك الشده الخشب تكون الكمره محمله بـ **D.L.** فقط فتصبح الكمره افقيه

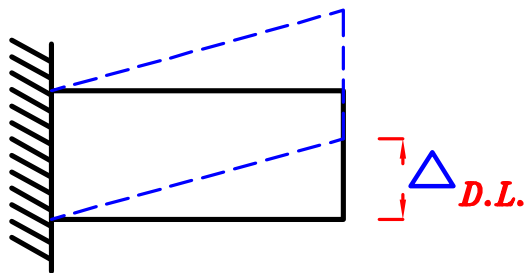
و عند وضع **L.L.** على الكمره سيحدث لها **Deflection** قيمته  $\Delta_{L.L.}$  فقط.

فتصبح قيمه  $\Delta_{act} = \Delta_{L.L.} < \Delta_{all}$  فتصبح الكمره **Safe Deflection**



**Cambering**

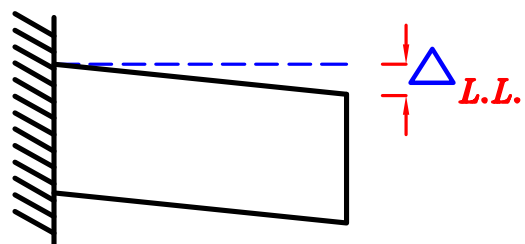
قبل فك الشده الخشب



بعد فك الشده الخشب مباشره

توجد فقط أحمال **D.L.**

$$\Delta_{act} = 0.0$$



بعد وضع أحمال الـ **L.L.**

$$\Delta_{act} = \Delta_{L.L.} < \Delta_{all}$$

**Safe Deflection.**

# Example.

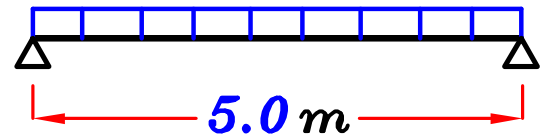
working Loads

$$g = 18.0 \text{ kN/m}$$

$$p = 30.0 \text{ kN/m}$$

$$F_{cu} = 25 \text{ N/mm}^2$$

st. 360/520 , Finish Factor = 0.20



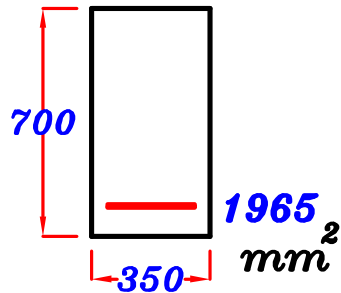
For the shown Beam

Calculate.

1 - the maximum immediate (Short Term) Deflection.

2 - Long Term deflection.

3 - Check Code Limits For deflection.



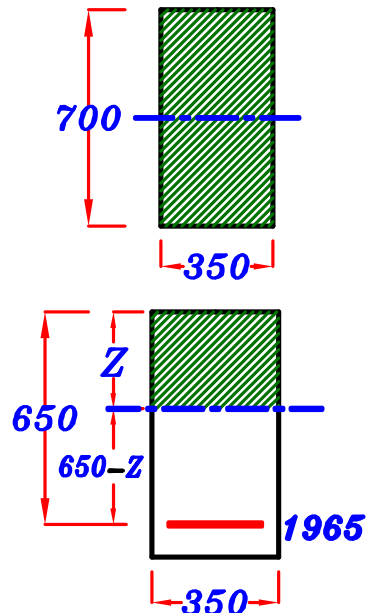
$$E_c = 4400 \sqrt{F_{cu}} = 4400 \sqrt{25} = 22000 \text{ N/mm}^2$$

$$I_g = \frac{b t^3}{12} = \frac{350 \cdot 700^3}{12} = 10004166670 \text{ mm}^4$$

$$\bar{y} = \frac{t}{2} = \frac{700}{2} = 350 \text{ mm}$$

$$\because S_{nv. \text{ above (N.A.)}} = S_{nv. \text{ under (N.A.)}} \therefore \frac{b Z^2}{2} = n A_s (d - Z)$$

$$\therefore \frac{350 (Z)^2}{2} = 15 (1965) (650 - Z) \rightarrow Z = 257.2 \text{ mm}$$



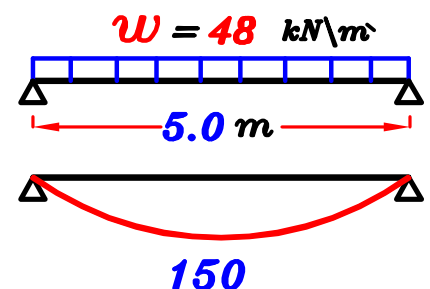
$$I_{nv} = \frac{b Z^3}{3} + n A_s (d - Z)^2$$

$$= \frac{350 (257.2)^3}{3} + 15 (1965) (650 - 257.2)^2 = 6532748196 \text{ mm}^4$$

$$F_{ctr} = 0.6 \sqrt{F_{cu}} = 0.6 \sqrt{25} = 3.0 \text{ N/mm}^2$$

$$M_{cr} = F_{ctr} * \frac{I_g}{\bar{y}_{ten}} = \frac{3.0 * 10004166670}{350} = 85750000 \text{ N.mm} = 85.75 \text{ kN.m}$$

$$M_{act.} = (g + p) \frac{L^2}{8} = 48 \frac{(5)^2}{8} = 150 \text{ kN.m}$$



$$\therefore M_{act} > M_{cr}$$

$$- I_e = \left( \frac{M_{cr}}{M_{act}} \right)^3 I_g + \left[ 1 - \left( \frac{M_{cr}}{M_{act}} \right)^3 \right] I_{nv}$$

$$I_e = \left( \frac{85.75}{150} \right)^3 (10004166670) + \left[ 1 - \left( \frac{85.75}{150} \right)^3 \right] (6532748196)$$

$$I_e = 7181286422 \text{ mm}^4$$

### Actual Deflections.

$$- \Delta_{D.L.} = \frac{5}{384} * \frac{9 L^4}{E_c I_e} = \frac{5}{384} * \frac{(18 * \frac{1000}{1000}) (5.0 * 1000)^4}{(22000) (7181286422)}$$

$$= 0.92 \text{ mm}$$

$$- \Delta_{L.L.} = \frac{5}{384} * \frac{p L^4}{E_c I_e} = \frac{5}{384} * \frac{(30 * \frac{1000}{1000}) (5.0 * 1000)^4}{(22000) (7181286422)}$$

$$= 1.54 \text{ mm}$$

$$- \Delta_{Creep} \quad \alpha = 2.0 - 1.2 \left( \frac{A_s'}{A_s} \right) = 2.0 - 1.2 \left( \frac{0.0}{1965} \right) = 2.0$$

$$\Delta_{Creep} = \alpha \Delta_{D.L.} = 2.0 (0.92) = 1.84 \text{ mm}$$

$$- \Delta_{sus} = \Delta_{D.L.} + \text{Finish Factor} * \Delta_{L.L.}$$

$$= 0.92 + 0.20 * 1.54 = 1.228 \text{ mm}$$

$$- \Delta_p = \Delta_{L.L.} + \alpha \Delta_{sus}$$

$$= 1.54 + 2.0 * 1.228 = 4.0 \text{ mm}$$

– **Short Term Deflection.**

$$= \triangle_{D.L.} + \triangle_{L.L.} = 0.92 + 1.54 = 2.46 \text{ mm}$$

– **Long Term Deflection.**

$$= \triangle_{D.L.} + \triangle_{L.L.} + \triangle_{\text{Creep}}$$
$$= 0.92 + 1.54 + 1.84 = 4.30 \text{ mm}$$

**Compare Actual Deflections with Allowable Deflection.**

---

$$\triangle_{all} = \frac{L}{250} = \frac{5000}{250} = 20 \text{ mm}$$

$$\triangle_{act} = \triangle_{D.L.} + \triangle_{L.L.} + \triangle_{\text{Creep}} = 4.30 \text{ mm}$$

$$\therefore \triangle_{act} \leq \triangle_{all} \longrightarrow \text{Safe Deflection.}$$

---

$$\triangle_{all} = \frac{L}{360} = \frac{5000}{360} = 13.90 \text{ mm}$$

$$\triangle_{act} = \triangle_{L.L.} = 1.54 \text{ mm}$$

$$\therefore \triangle_{act} \leq \triangle_{all} \longrightarrow \text{Safe Deflection.}$$

---

$$\triangle_{all} = \frac{L}{480} = \frac{5000}{480} = 10.417 \text{ mm}$$

$$\triangle_{act} = \triangle_p = \triangle_{L.L.} + \alpha \triangle_{sus} = 4.0 \text{ mm}$$

$$\therefore \triangle_{act} \leq \triangle_{all} \longrightarrow \text{Safe Deflection.}$$

---

$\therefore$  All the checks are safe

$\therefore$  **The beam is Safe Deflection**



## Example.

$$F_{cu} = 25 \text{ N/mm}^2 \text{ st. } 360/520$$

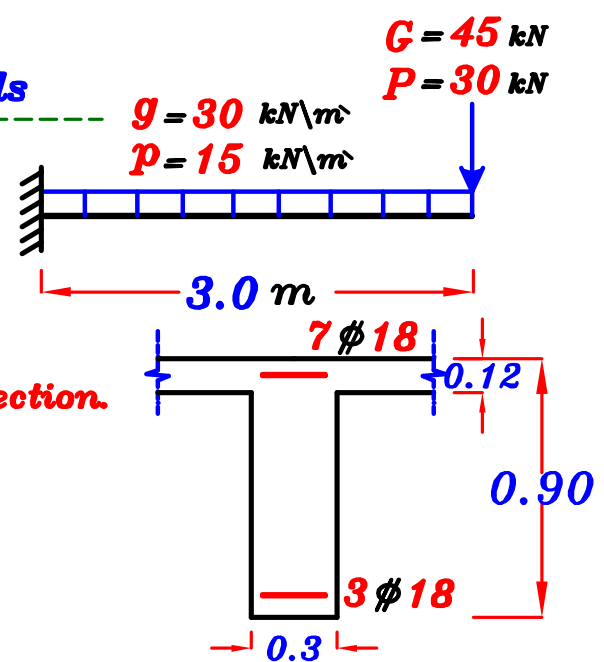
For the shown cantilever

Calculate:

- 1- the maximum immediate (Short Term) Deflection.
- 2- Long Term deflection.
- 3- Check Code Limits For deflection.

### Factored Loads

U.L. Loads



## Solution.

$$E_c = 4400 \sqrt{F_{cu}} = 4400 \sqrt{25} = 22000 \text{ N/mm}^2$$

$$A = 120 * 1020 + 300 * 780 = 356400 \text{ mm}^2$$

$$\bar{y} = \frac{120 * 1020 * 60 + 300 * 780 * 510}{356400} = 355.45 \text{ mm}$$

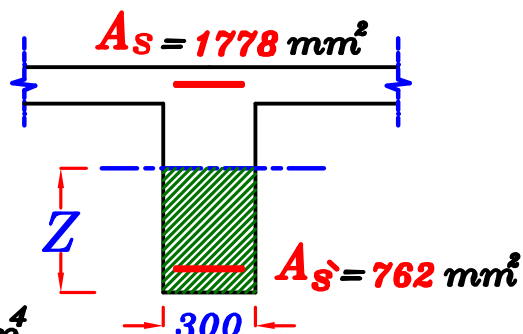
$$I_g = \frac{300 * 780^3}{12} + 300 * 780 (154.55)^2 + \frac{1020 * 120^3}{12} + 1020 * 120 (295.45)^2 = 28284316370 \text{ mm}^4$$

$$\because S_{nv, \text{above (N.A.)}} = S_{nv, \text{under (N.A.)}} \quad \therefore \frac{b Z^2}{2} + (n-1) A_s (Z-d) = n A_s (d-Z)$$

$$\frac{300(Z)^2}{2} + (15-1)(762)(Z-50) = 15(1778)(850-Z) \rightarrow Z = 288.0 \text{ mm}$$

$$I_{nv} = \frac{b Z^3}{3} + (n-1) A_s (Z-d)^2 + n A_s (d-Z)^2$$

$$= \frac{300(288.0)^3}{3} + (15-1)(762)(288.0-50)^2 + 15(1778)(850-288.0)^2 = 11416624870 \text{ mm}^4$$



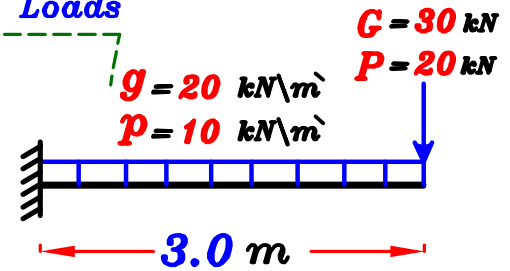
$$- F_{ctr} = 0.6 \sqrt{F_{cu}} = 0.6 \sqrt{250} = 3.0 \text{ N/mm}^2$$

$$- M_{cr} = F_{ctr} * \frac{I_g}{y_{ten}} = \frac{3.0 * 28284316370}{355.45} = 238719789 \text{ N.mm} = 238.7 \text{ kN.m}$$

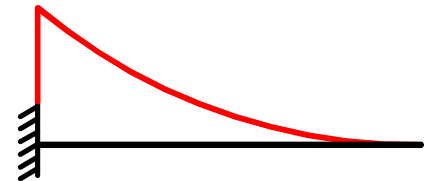
$$- M_{act.} = (G + P) L + (g + p) \frac{L^2}{2}$$

$$= 50 (3) + 30 \frac{(3)^2}{2} = 285 \text{ kN.m}$$

working Loads



$$M_{act.} = 285 \text{ kN.m}$$



$$\therefore M_{act} > M_{cr}$$

$$- I_e = \left( \frac{M_{cr}}{M_{act}} \right)^3 I_g + \left[ 1 - \left( \frac{M_{cr}}{M_{act}} \right)^3 \right] I_{nv}$$

$$I_e = \left( \frac{238.7}{285} \right)^3 (28284316370) + \left[ 1 - \left( \frac{238.7}{285} \right)^3 \right] (11416624870)$$

$$I_e = 21326731480 \text{ mm}^4$$

$$- \triangle_{D.L.} = \frac{1}{8} * \frac{g L^4}{E_c I_e} + \frac{1}{3} * \frac{G L^3}{E_c I_e}$$

$$\triangle_{D.L.} = \frac{1}{8} * \frac{(20 * \frac{1000}{1000}) (3.0 * 1000)^4}{(22000) (21326731480)} + \frac{1}{3} * \frac{(30 * 10^3) (3.0 * 1000)^3}{(22000) (21326731480)} = 1.007 \text{ mm}$$

$$- \triangle_{L.L.} = \frac{1}{8} * \frac{p L^4}{E_c I_e} + \frac{1}{3} * \frac{P L^3}{E_c I_e}$$

$$\triangle_{L.L.} = \frac{1}{8} * \frac{(10 * \frac{1000}{1000}) (3.0 * 1000)^4}{(22000) (21326731480)} + \frac{1}{3} * \frac{(20 * 10^3) (3.0 * 1000)^3}{(22000) (21326731480)} = 0.599 \text{ mm}$$

$$- \triangle_{Creep}$$

$$\alpha = 2.0 - 1.2 \left( \frac{A_s}{A_s} \right) = 2.0 - 1.2 \left( \frac{762}{1778} \right) = 1.485$$

$$\triangle_{Creep} = \alpha \triangle_{D.L.} = 1.485 (1.007) = 1.495 \text{ mm}$$

– *Short Term Deflection.*

$$= \triangle_{D.L.} + \triangle_{L.L.} = 1.007 + 0.599 = 1.606 \text{ mm}$$

– *Long Term Deflection.*

$$= \triangle_{D.L.} + \triangle_{L.L.} + \triangle_{Creep} = 1.007 + 0.599 + 1.495 = 3.10 \text{ mm}$$

Compare Actual Deflections with Allowable Deflection.

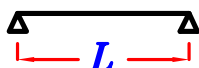
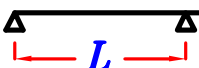

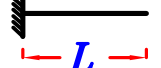
$$\triangle_{all} = \frac{L}{450} = \frac{3000}{450} = 6.60 \text{ mm}$$

$$\triangle_{act} = \triangle_{D.L.} + \triangle_{L.L.} + \triangle_{Creep} = 3.10 \text{ mm}$$

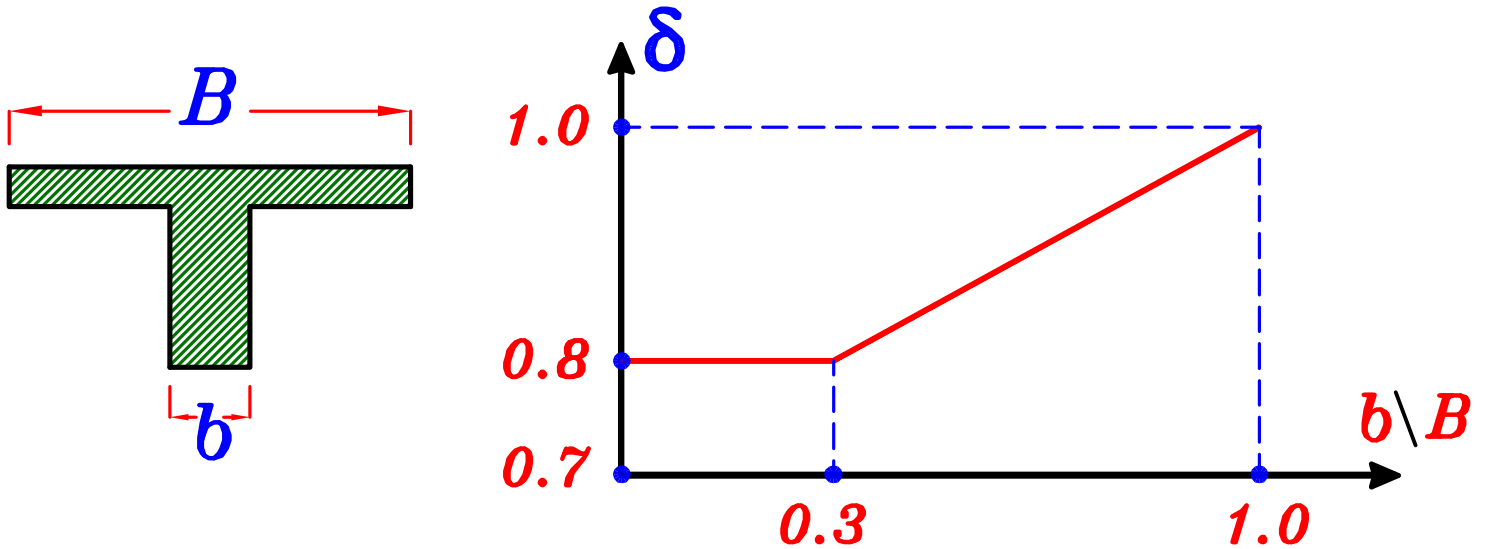
$$\therefore \triangle_{act} \leq \triangle_{all} \longrightarrow \boxed{\text{The beam is Safe Deflection}}$$

# Note.

ممکن اہمال عمل **check deflection** اذا كانت نسبہ بحر الکمرہ الى عمقها لا یزید عن القيم التالیہ ( $L \setminus t$ )

				
st. 360\520 400\600	16	18	21	5
st. 240\350	$16 * 1.25$	$18 * 1.25$	$21 * 1.25$	$5 * 1.25$

اذا كان القطاع **T-section** نضرب هذه القيم فی **Factor  $\delta$**



لن تتفع هذه القيم و بالتالی يجب عمل **Check Deflection** فی الحالات التالیہ :

- ١ - أن یزید بحر الکمرہ عن ١٠ م
- ٢ - أن تكون الکمرہ معرضه لاحمال کبیره أو أحمال مرکزہ .
- ٣ - أن يكون عمق الکمرہ متغیر **variable depth**

# Cracks Control.

تنقسم المنشآت الخرسانية الى ٤ أقسام حسب تعرضها للرطوبة و عوامل تآكل الحديد .  
و لمنع تآكل الحديد يجب أن لا يزيد عرض الشرخ عن قيمه  $W_{K_{max}}$

**ECCS Design Aids Page 8-1**

Category	Crack Width $W_{K_{max}}$ (mm)	Degree of Exposure درجة التعرض للرطوبة	نوع المنشأ
one	0.30 mm	منشآت محمية <b>Protected structures.</b>	المنشآت العادية الغير معرضة للرطوبة
Two	0.20 mm	منشآت غير محمية <b>Unprotected open air structures.</b>	الكبارى و المنشآت المجاورة للمجارى المائية
Three	0.15 mm	معرضة للرطوبة <b>Severally Exposed</b>	خزانات المياه
Four	0.10 mm	معرضة بشده للرطوبة <b>very Severally Exposed</b>	مواسير الصرف الخرسانيه و أحواض معالجة المياه

## The Factors Affecting the Crack Width. $W_K$

العوامل المؤثرة على شروخ الخرسانه

- 1 - Steel stress. ( $F_s$ )  $W_K \propto F_s$
- 2 - Steel strength. ( $F_y$ )  $W_K \propto \frac{1}{F_y}$
- 3 - Bond between steel & concrete. -----  $W_K \propto \frac{1}{Bond}$
- 4 - Steel bar diameter. ( $\phi$ )  $W_K \propto \phi$
- 5 - Steel type (Smooth or deformed)
- 6 - Concrete strength ( $F_{cu}$ ) -----  $W_K \propto \frac{1}{F_{cu}}$
- 7 - Concrete cover.  $W_K \propto \frac{1}{Cover}$
- 8 -  $\mu = \frac{A_s}{A_c}$   $W_K \propto \frac{1}{\mu}$
- 9 -  $\alpha = \frac{A_s'}{A_s}$   $W_K \propto \alpha$

Category	Degree of exposure to environmental effects
One	Structures with <i>protected</i> tension side such as a) All protected internal members of ordinary buildings. b) Permanently submerged members in water (without harmful materials) or members permanently dry. c) Well isolated roofs against moisture and rains.
Two	Structures with <i>unprotected</i> tension side, such as: a) Structures in open air, e.g. bridges and roofs without good insulation. b) Structures of category one built nearby seashores. c) Structures subjected to humidity such as open halls, sheds and garages.
Three	Structures with <i>severely exposed</i> tension side, such as: a) Members with high exposure to humidity. b) Members exposed to repeated saturation with moisture. c) Water tanks. d) Structures subjected to vapour, gases or weak chemical attacks.
Four	Structures with tension side <i>very severely</i> exposed to corrosive influences of strong chemical attacks which cause rusting of steel a) Structures subjected to conditions resulting in rust of steel such as gases and vapour including chemicals. b) Other tanks, sewerage, Structures subjected to seawater.

كلما زادت نسبة الحديد في القطاع  $\mu = \frac{A_s}{A_c}$  كلما قل عرض الشرخ  $W_K$   
 فيتم وضع معامل تخفيض  $F_y$  للعمل على زياده كميته الحديد  
 ليقل الشرخ و يسمى هذا المعامل  $\beta_{cr}$

**ECCS Design Aids Page 8-4**

To Use  $\beta_{cr}$  Get the Category No. and Get  $\phi$  we use.

Then Get  $\beta_{cr}$  From **ECCS Page 8-4**

① Case of  $M$  only.

$$A_s = \frac{1}{\beta_{cr}} \left( \frac{M_{U.L.}}{J F_y d} \right)$$

② Case of  $M, N$

$$A_s = \frac{1}{\beta_{cr}} \left( \frac{M_s}{J F_y d} - \frac{N_{U.L.}}{(F_y \backslash \phi_s)} \right)$$

③ Case of  $T$  only.

$$A_s = \frac{1}{\beta_{cr}} \left( \frac{T_{U.L.}}{(F_y \backslash \phi_s)} \right)$$



$f_s$ (N/mm <sup>2</sup> ) W.S.D	Reduction factor L.S.D $\beta_{cr}$		Category one	Category two	Categories three & four
	36/52	40/60	Largest Bar diameter ( $\phi_{max}$ ) in mm		
220	1.00	0.92	18	12	8
200	0.93	0.83	22	16	10
180	0.85	0.75	25	20	12
160	0.75	0.67	32	22	18
140	0.65	0.58	--	25	22
120	0.56	0.50	--	--	28



## Example.

$$F_{cu} = 25 \text{ N/mm}^2 \quad \text{st. 360/520} \quad b = 250 \text{ mm}$$

$$M_{U.L.} = 400 \text{ kN.m} \quad \text{Cat. II}$$

Req: Get  $d$ ,  $A_s$

## Solution.

$$\text{Take } d = C_1 \sqrt{\frac{M_{U.L.}}{F_{cu} b}} \quad C_1 = 3.5, J = 0.78$$

$$\therefore d = 3.5 \sqrt{\frac{400 * 10^6}{25 * 250}} = 885.4 \text{ mm}$$

$$\text{Take } d = 900 \text{ mm}, \quad t = 950 \text{ mm}$$

$$\therefore A_s = \frac{1}{\beta_{cr}} \left[ \frac{M_{U.L.}}{J F_y d} \right] = \frac{1}{\beta_{cr}} \left[ \frac{400 * 10^6}{0.78 * 360 * 885.4} \right]$$

$$\therefore A_s = \frac{1}{\beta_{cr}} [1609] \text{ mm}^2$$

$\therefore$  From ECCS Design Aids Page 8-4 Cat. II

$$\text{IF we use } \phi 12 \rightarrow \beta_{cr} = 1.0 \rightarrow A_s = \frac{1}{1.0} [1609] = 1609 \text{ mm}^2 \quad (15 \phi 12)$$

$$\text{IF we use } \phi 16 \rightarrow \beta_{cr} = 0.93 \rightarrow A_s = \frac{1}{0.93} [1609] = 1730 \text{ mm}^2 \quad (9 \phi 16)$$

$$\text{IF we use } \phi 18 \rightarrow \beta_{cr} = 0.85 \rightarrow A_s = \frac{1}{0.85} [1609] = 1893 \text{ mm}^2 \quad (8 \phi 18)$$

$$\text{IF we use } \phi 20 \rightarrow \beta_{cr} = 0.85 \rightarrow A_s = \frac{1}{0.85} [1609] = 1893 \text{ mm}^2 \quad (6 \phi 20)$$

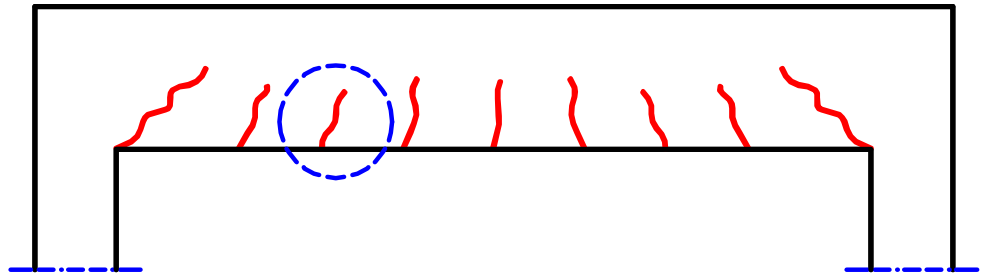
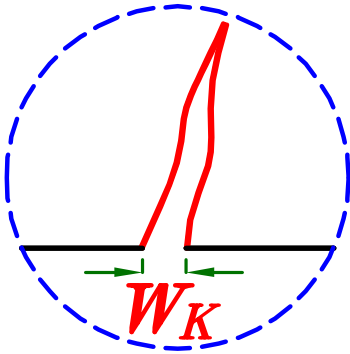
## Check Crack width.

عند تصميم العناصر الخرسانية المسلحة يجب استيفاء العلاقة التالية :

$$W_K \leq W_{Kmax}$$

ECCS Design Aids Pages 8-2 & 8-3

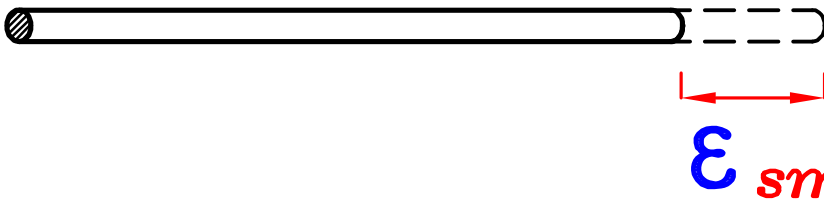
حيث  $W_K$  هو عرض الشرخ جهة الشد بال مم .



$W_{Kmax}$  هو أكبر عرض شرخ مسموح به بال مم .

Category	One	Two	Three	Four
$W_{Kmax}$ (mm)	0.30	0.20	0.15	0.10

$\epsilon_{sm}$  هي استطالة الحديد في الكمره



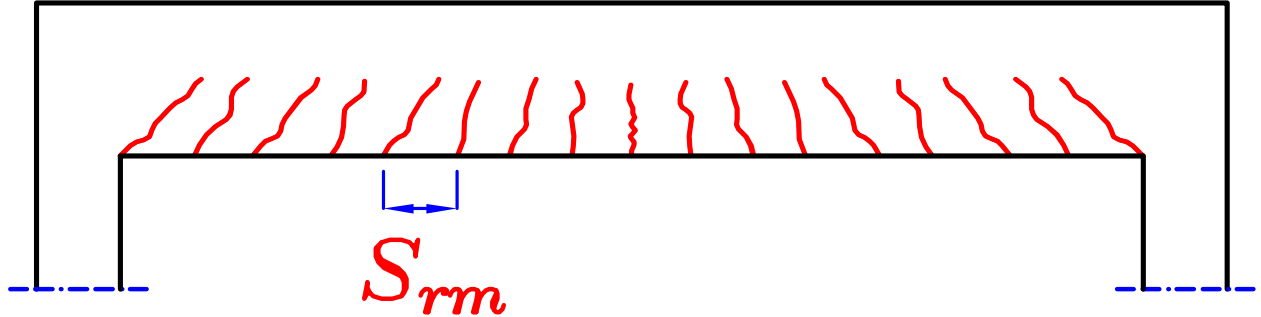
كلما زادت استطالة الحديد كلما زاد عرض الشرخ .

$$\epsilon_{sm} \propto W_K$$

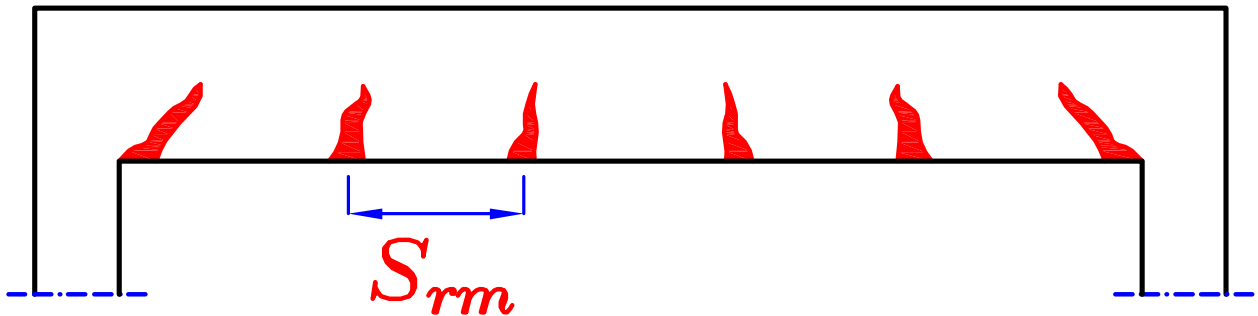
$S_{rm}$  هي المسافه بين كل شرخ و الذى يليه بال **مم**

بما ان مجموع عرض الشروخ ثابت = استطاله الحديد

اذا كلما زاد عدد الشروخ كلما قلت المسافه بينهم و كلما قل عرض الشرخ



اذا كلما قل عدد الشروخ كلما زادت المسافه بينهم و كلما زاد عرض الشرخ



$$S_{rm} \propto W_K$$

## To Calculate crack width $W_K$

$$W_K = \beta * S_{rm} * \epsilon_{sm} \text{ mm}$$

حيث  $\beta$  هي معامل يربط العلاقه بين متوسط عرض الشرخ و القيمه التصميميه لعرض الشرخ .

في حاله الشروخ الناتجه عن الاحمال  $\beta = 1.70$  Take

حيث  $S_{rm}$  هي المسافه بين الشروخ بال مم .

$$S_{rm} = \left[ 50 + 0.25 K_1 K_2 \frac{\phi}{\rho_r} \right] \text{ mm}$$

حيث  $\epsilon_{sm}$  هي الزياده المتوسطه للانفعال في الصلب بالنسبه للخرسانه حول الصلب .

$$\epsilon_{sm} = \frac{F_s}{E_s} \left[ 1 - \beta_1 \beta_2 \left( \frac{F_{sr}}{F_s} \right)^2 \right]$$

## To Calculate $S_{rm}$

$$S_{rm} = \left[ 50 + 0.25 K_1 K_2 \frac{\phi}{\rho_r} \right] \text{ mm}$$

حيث  $K_1$  هي معامل يعكس تأثير التماسك بين الخرسانه و الحديد على المسافه بين الشروخ .

نتوات  $K_1 = 0.80$  For Deformed Bars 

$K_1 = 1.60$  For Smooth Bars 

حيث  $K_2$  هي معامل يعكس تأثير شكل توزيع الانفعالات فى القطاع على المسافه بين الشروخ .

Take  $K_2 = 0.50$  For Pure Bending.



$K_2 = 1.0$  For Pure axial Tension.



حيث  $\phi$  هو قطر السيخ المستخدم فى القطاع بال مم

$$\rho_r = \frac{A_s}{A_{cef}}$$

حيث  $\rho_r$  هي نسبه تسليح الشد الفعال .

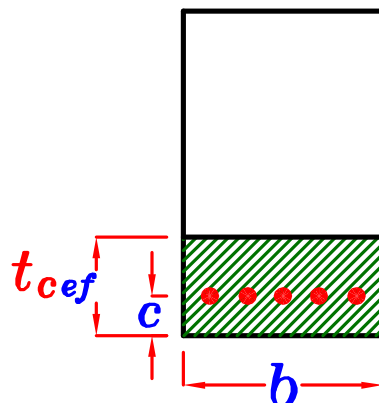
$A_s$  هي مساحه الحديد جهه الشد .

$A_{cef}$  هي مساحه قطاع الخرسانه الفعال فى الشد .

$$A_{cef} = b * t_{cef}$$

$$t_{cef} = 2.5 (c)$$

$c$  is the cover



## To Calculate $\epsilon_{sm}$

$$\epsilon_{sm} = \frac{F_s}{E_s} \left[ 1 - \beta_1 \beta_2 \left( \frac{F_{sr}}{F_s} \right)^2 \right]$$

**حيث  $\beta_1$**  هي معامل يعكس تأثير التماسك بين الخرسانه و الحديد على الزيادة المتوسطة للانفعال فى الصلب بالنسبه للخرسانه .

نتوات  
 Take  $\beta_1 = 0.80$  For Deformed Bars   
 $\beta_1 = 0.50$  For Smooth Bars 

**حيث  $\beta_2$**  هي معامل يأخذ تأثير فتره التحميل على الزيادة المتوسطة للانفعال فى الصلب بالنسبه للخرسانه .

Take  $\beta_2 = 1.0$  Short Term loading.  
 $\beta_2 = 0.50$  Long Term loading.

**حيث  $E_s$**  هي معاير المرونه لحديد الصلب

$$E_s = 2.0 * 10^5 \text{ N/mm}^2$$

### Properties of the section.

$$* \bar{y} = \frac{t}{2}$$

$$* I_g = \frac{b t^3}{12}$$

$$* F_{ctr} = 0.6 \sqrt{F_{cu}} \text{ N/mm}^2$$

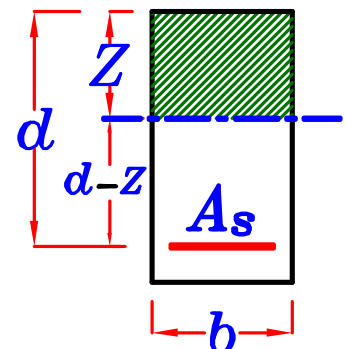
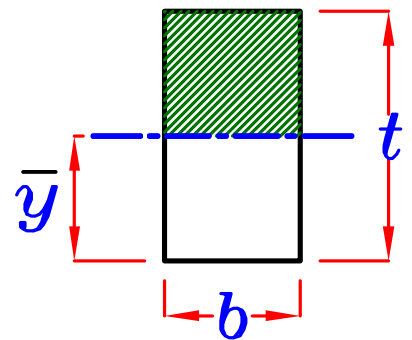
$$* M_{cr} = F_{ctr} * \frac{I_g}{\bar{y}}$$

$$* n = 15 \text{ Modular Ratio}$$

$$* Z \text{ From } \frac{b Z^2}{2} - n A_s (d - Z) = 0.0$$

$$* I_{nv} = \frac{b Z^3}{3} + n A_s (d - Z)^2$$

$$* M_{act} \text{ is the actual moment due to working loads.}$$



**حيث  $F_s$**  الاجهاد فى صلب التسليح جهة الشد فى القطاع بعد التشرخ  
و المحسوب على أساس قطاع مشرخ تحت تأثير أحمال التشغيل .

$$F_s = n \frac{M_{act} (d - z)}{I_{nv}}$$

**حيث  $F_{sr}$**  الاجهاد فى صلب التسليح ناحيه الشد فى القطاع و المحسوب على  
أساس قطاع مشرخ عند حدوث أول شرخ تحت تأثير الاحمال  
المسببه لأول حاله تشرخ .

$$F_{sr} = n \frac{M_{cr} (d - z)}{I_{nv}}$$

Then get  $W_K = \beta * S_{rm} * \epsilon_{sm}$

Compare this value with  $W_{Kmax}$

*ECCS Design Aids Pages 8-2*

Category	One	Two	Three	Four
$W_{Kmax}$ (mm)	0.30	0.20	0.15	0.10

\* IF  $W_K \leq W_{Kmax} \rightarrow$  Safe Crack width.

\* IF  $W_K > W_{Kmax} \rightarrow$  Unsafe Crack width.

## 8.2 Satisfaction of Cracking Limit State

When designing reinforced concrete structures, one should fulfil the following relation:

$$w_k = \beta \cdot s_{rm} \cdot \varepsilon_{sm}$$

$$s_{rm} = \left( 50 + 0.25 K_1 K_2 \frac{\phi}{\rho_r} \right)$$

$$\varepsilon = \frac{f_s}{E_s} \left( 1 - \beta_1 \beta_2 \left( \frac{f_{sr}}{f_s} \right)^2 \right)$$

with the values of  $w_k$  less than or equal to the values  $w_{kmax}$  given in Table (8-2):

**Table (8-2) Values of  $w_{kmax}$**

Category	One	Two	Three	Four
$w_{k(max)}$	0.3	0.2	0.15	0.1



In case of members subjected to imposed deformation, the values of  $k_1$  shall be modified to  $kk_1$  where the value of  $k$  is taken as follows:

- a)  $k=0.80$  for the case in which the tensile stresses are induced due to restraining the deformation. For rectangular cross section, the value of  $k$  is taken as follows:

$k=0.8$  for rectangular section having thickness  $\leq 300$  mm.

$k=0.50$  for rectangular sections having thickness  $\leq 800$  mm.

- b)  $k=1.0$  for cases in which the tensile stresses are induced due to restraint of extrinsic deformation.

$k_2$  = Coefficient that reflects the strain distribution over the cross section subsection. It shall be taken equal to 0.5 for sections subjected to pure bending and 1.0 for sections subjected to pure axial tension. For section subjected to combined bending and axial tension,  $k_2$  shall be calculated from:

$$k_2 = \frac{\varepsilon_1 + \varepsilon_2}{2 \varepsilon_2}$$

Where  $\varepsilon_1$  and  $\varepsilon_2$  are the maximum and minimum strain values to which the section is subjected, and shall be calculated based on the analysis of a cracked section.

$\rho_r$  = effective tension reinforcement ratio.

$$\rho_r = \frac{A_s}{A_{cef}}$$

where

$A_s$  = area of longitudinal tension steel within the effective tension area

$A_{cef}$  = area of effective concrete section in tension.

= width of the section \*  $t_{cef}$

$t_{cef}$  can be calculated according to Fig. (4.22) of ECCS 203-2001.

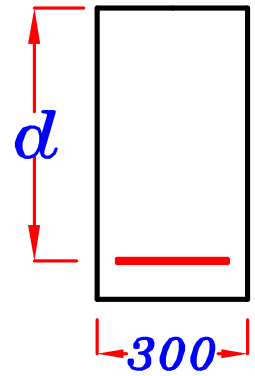
$f_s$  = stress in longitudinal steel at the tension zone, calculated based on the analysis of cracked section under permanent loads.

$f_{sr}$  = stress in longitudinal steel at the tension zone, calculated based on the analysis of cracked section due to loads causing first cracking.

## Example.

$$F_{cu} = 25 \text{ N/mm}^2, \text{ st. 360/520}$$

$$M_{U.L.} = 300 \text{ kN.m} \quad \text{Category II}$$



**Required:**

1- Design the section to satisfy crack limits.

2- Check crack width.  $W_K$

## Solution.

$$\text{Take } d = c_1 \sqrt{\frac{M_{U.L.}}{F_{cu} b}} \quad c_1 = 3.5, \quad J = 0.78$$

$$\therefore d = 3.5 \sqrt{\frac{300 \cdot 10^6}{25 \cdot 300}} = 700 \text{ mm}$$

$$\text{Take } d = 700 \text{ mm}, \quad t = 750 \text{ mm}$$

$$\therefore A_s = \frac{1}{\beta_{cr}} \left[ \frac{M_{U.L.}}{J F_y d} \right] = \frac{1}{\beta_{cr}} \left[ \frac{300 \cdot 10^6}{0.78 \cdot 360 \cdot 700} \right]$$

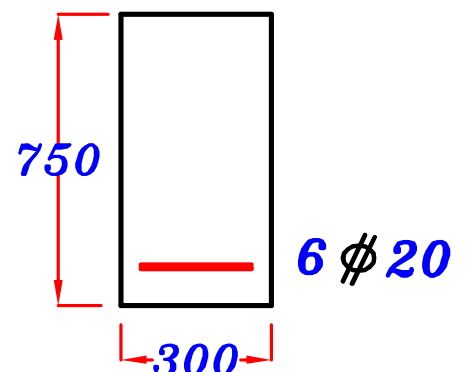
$$\therefore A_s = \frac{1}{\beta_{cr}} [1526] \text{ mm}^2$$

$\therefore$  From *ECCS Design Aids* Page 8-4 Cat. II

using  $\phi 20 \rightarrow \beta_{cr} = 0.85$

$$A_s = \frac{1}{0.85} [1526] = 1795 \text{ mm}^2$$

**6  $\phi 20$**



## 2- Check crack width. $W_K$

$$* W_{Kmax} = 0.20 \text{ mm}$$

$$* W_K = \beta * S_{rm} * \epsilon_{sm}$$

$$- \boxed{\beta = 1.70} \text{ For cracks induced due to loading.}$$

$$* S_{rm} = \left[ 50 + 0.25 K_1 K_2 \frac{\phi}{\rho_r} \right]$$

$$- K_1 = 0.80 \text{ For Deformed Bars}$$

$$- K_2 = 0.50 \text{ For Pure Bending.}$$

$$- \phi = 20 \text{ mm}$$

$$- \rho_r = \frac{A_s}{A_{cef}} \quad A_s = 6 \phi 20 = 1884 \text{ mm}^2$$

$$t_{cef} = 2.5 (c) = 2.5 (50) = 125 \text{ mm}$$

$$A_{cef} = b * t_{cef} = 300 (125) = 37500 \text{ mm}^2$$

$$\rho_r = \frac{A_s}{A_{cef}} = \frac{1884}{37500} = 0.0502$$

$$S_{rm} = \left[ 50 + 0.25 K_1 K_2 \frac{\phi}{\rho_r} \right]$$

$$S_{rm} = \left[ 50 + 0.25 (0.80) (0.50) \left( \frac{20}{0.0502} \right) \right] = 89.84 \text{ mm}$$

$$\boxed{S_{rm} = 89.84 \text{ mm}}$$

$$\ast \quad \epsilon_{sm} = \frac{F_s}{E_s} \left[ 1 - \beta_1 \beta_2 \left( \frac{F_{sr}}{F_s} \right)^2 \right]$$

$$- \quad \beta_1 = 0.80 \quad \text{For Deformed Bars.}$$

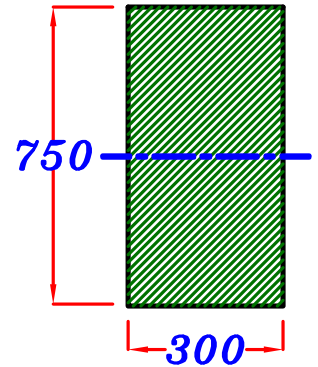
$$- \quad \beta_2 = 0.50 \quad \text{Long Term loading.}$$

$$- \quad E_s = 2.0 \times 10^5 \quad \text{N/mm}^2$$

### Properties of the section.

$$- \quad \bar{y} = \frac{t}{2} = \frac{750}{2} = 375 \text{ mm}$$

$$- \quad I_g = \frac{b t^3}{12} = \frac{300 \times 750^3}{12} = 10546875000 \text{ mm}^4$$



$$- \quad F_{ctr} = 0.6 \sqrt{F_{cu}} = 0.6 \sqrt{250} = 3.0 \text{ N/mm}^2$$

$$- \quad M_{cr} = F_{ctr} \times \frac{I_g}{\bar{y}_{ten}} = \frac{3.0 \times 10546875000}{375} = 84375000 \text{ N.mm} = 84.375 \text{ kN.m}$$

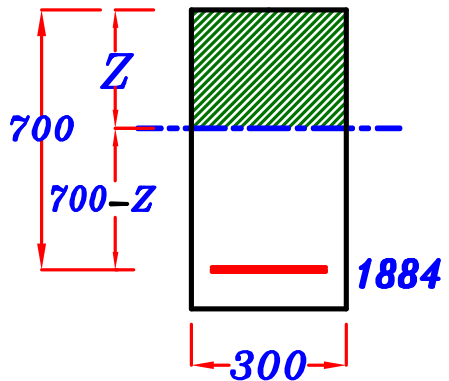
$$- \quad M_{act} = \frac{M_{U.L.}}{1.50} = \frac{300}{1.50} = 200 \text{ kN.m}$$

$$n = 15$$

$$- \quad Z \text{ From } \frac{b Z^2}{2} - n A_s (d - Z) = 0.0$$

$$\therefore \frac{300 (Z)^2}{2} - 15 (1884) (700 - Z) = 0.0$$

$$\therefore Z = 280.97 \text{ mm}$$



$$- \quad I_{nv} = \frac{b Z^3}{3} + n A_s (d - Z)^2$$

$$I_{nv} = \frac{300 (280.97)^3}{3} + 15 (1884) (700 - 280.97)^2 = 7180157869 \text{ mm}^4$$

$$* F_s = n \frac{M_{act} (d - Z)}{I_{nv}}$$

$$F_s = 15 * \frac{200 * 10^6 (700 - 280.97)}{7180157869} = 175.08 \text{ N/mm}^2$$

$$* F_{sr} = n \frac{M_{cr} (d - Z)}{I_{nv}}$$

$$F_{sr} = 15 * \frac{84.375 * 10^6 (700 - 280.97)}{7180157869} = 73.86 \text{ N/mm}^2$$

$$* \epsilon_{sm} = \frac{F_s}{E_s} \left[ 1 - \beta_1 \beta_2 \left( \frac{F_{sr}}{F_s} \right)^2 \right]$$

$$\epsilon_{sm} = \frac{175.08}{2.0 * 10^5} \left[ 1 - (0.80) (0.50) \left( \frac{73.86}{175.08} \right)^2 \right] = 8.13 * 10^{-4}$$

$$\epsilon_{sm} = 8.13 * 10^{-4}$$

$$W_K = \beta * S_{rm} * \epsilon_{sm} = 1.7 * 89.84 * 8.13 * 10^{-4}$$

$$W_K = 0.124 \text{ mm} < W_{Kmax} = 0.20 \text{ mm}$$

$\therefore$  Safe Crack width